

## ЦЕНТРАЛЬНО-СИММЕТРИЧНЫЕ СТАТИЧЕСКИЕ РЕШЕНИЯ УРАВНЕНИЙ ОБЩЕЙ ТЕОРИИ ОТНОСИТЕЛЬНОСТИ, ОТЛИЧНЫЕ ОТ РЕШЕНИЯ ШВАРЦШИЛЬДА

М. В. Горбатенко

ФГУП «РФЯЦ-ВНИИЭФ», 607188, г. Саров Нижегородской обл.

Находятся два типа точных решений уравнений общей теории относительности для центрально-симметричной статической задачи, отличающиеся от известного решения Шварцшильда. Решения анализируются на предмет согласия их с базовыми принципами общей теории относительности: отсутствие сингулярностей у компонент метрики, эволюционность решений, наличие механизма остановки коллапса. Некоторые из этих принципов, как оказывается, нарушаются. Делается вывод об актуальности задачи поиска физически приемлемого центрально-симметричного статического решения уравнений общей теории относительности.

*Ключевые слова:* центрально-симметричные статические решения уравнений ОТО, механизм остановки коллапса.

### Введение

В данной работе предпринята попытка переосмыслить процедуру нахождения центрально-симметричных статических (ЦСС) решений уравнений общей теории относительности ОТО. По существу эта работа является продолжением [1]. Переосмысление идет по следующим направлениям.

Во-первых, принимается, что ЦСС решения состоят из двух частей: внутренней части (объекта) и внешней части, описываемой внешним решением Шварцшильда\*

$$ds^2 = -\left(1 - \frac{r_0}{r}\right) dt^2 + \left(1 - \frac{r_0}{r}\right)^{-1} dr^2 + r^2 d\Omega^2. \quad (1)$$

Обе части решений соединяются на поверхности объекта так, чтобы были непрерывны компоненты метрики и их первых производных. Напомним, что выполнение этих условий необходимо для того, чтобы получаемое ЦСС решение имело эволюционный характер, т. е. могло быть получено в качестве финальной стадии решения задачи Коши для некоторого нестационарного процесса. Правила постановки задачи Коши для уравнений ОТО установлены в [2–6]. Согласно этим прави-

лам компоненты метрики должны быть функциями класса гладкости не ниже  $C^1$ .

Во-вторых, тензор энергии-импульса  $T_{\alpha\beta}$ , входящий в уравнения ОТО\*\*

$$G_{\alpha\beta} \equiv R_{\alpha\beta} - \frac{1}{2} g_{\alpha\beta} R = T_{\alpha\beta}, \quad (2)$$

не задается априори, а находится из уравнений (2). Напомним, что в случае ЦСС задач самым общим видом квадрата интервала считается

$$ds^2 = -e^\gamma dt^2 + e^\alpha dr^2 + r^2 d\Omega^2. \quad (3)$$

Из 10 уравнений общей теории относительности (2) независимыми являются уравнения  $G_0^0 = T_0^0$ ,  $G_1^1 = T_1^1$ ,  $G_2^2 = T_2^2$ . В систему этих трех уравнений входит четыре функции:

$$\gamma, \alpha, U, P.$$

Один из способов нахождения конкретных решений этой системы состоит в использовании како-

---

\*\* Физические величины  $T_{\alpha\beta}^{ph}$  с размерностью эрг/см<sup>3</sup> связаны с используемыми в правой части величинами  $T_{\alpha\beta}$  соотношением  $T_{\alpha\beta} = \frac{8\pi G}{c^4} T_{\alpha\beta}^{ph}$ . Сигнатура  $(-+++)$ .

---

\* Используются обозначения из [1].

го-нибудь дополнительного условия. Например, Шварцшильд в [7] предположил, что плотность энергии постоянна по объему внутренней части решения,

$$U(r) = \begin{cases} U_0 = \text{const}, & 0 < r < \bar{r}, \\ 0, & r > \bar{r}. \end{cases} \quad (4)$$

Предположение (4) довольно естественно, но оно не может быть использовано в решении уравнений ОТО. Дело в том, что на границе объекта оно приводит к разрыву первой производной от компоненты  $g_{11}$ , что вступает в противоречие с условием эволюционности решения. В этом смысле выбор одной из четырех функций в качестве той, которая задается априори, может иметь принципиальный характер. В нашем рассмотрении априори задается функция  $g_{11}$  так, чтобы автоматически она была несингулярной, а на поверхности объекта была непрерывной как сама функция  $g_{11}$ , так и ее первая производная. А компоненты тензора энергии-импульса находятся из уравнений ОТО. Заметим, что в нашем рассмотрении компоненты  $T_{\alpha\beta}$  являются самостоятельными функциями независимо от того, из каких полей (скалярных, векторных, биспинорных и т. д.) сконструированы эти компоненты.

Явный вид уравнений ОТО для ЦСС задачи заимствуем из [8, 9]:

$$\frac{1}{r^2} e^{-\alpha} (1 - r\alpha') - \frac{1}{r^2} = -U. \quad (5)$$

$$\frac{1}{r^2} e^{-\alpha} (1 + r\gamma') - \frac{1}{r^2} = P. \quad (6)$$

$$e^{-\alpha} \left( \frac{\gamma''}{2} + \frac{\gamma'^2}{4} + \frac{\gamma'}{2r} - \frac{\alpha'}{2r} - \frac{\alpha'\gamma'}{4} \right) = P. \quad (7)$$

Здесь использованы обозначения  $T_0^0 = -U$ ,  $T_1^1 = T_2^2 = P$ . Штрих означает дифференцирование по радиальной переменной  $r$ . Мы придерживаемся обычной трактовки смысла компонента тензора энергии-импульса (см., например, [10]), согласно которой  $U$  имеет смысл плотности энергии, а  $P$  – давление. Условием согласованности системы уравнений (5)–(7) являются уравнения

$$T_{\alpha^{\nu};\nu} = 0. \quad (8)$$

Подстановка (5)–(7) в (8) приводит к соотношению

$$(U + P) \frac{\gamma'}{2} + P' = 0. \quad (9)$$

В результате наших исследований построены два типа решений ЦСС задачи для уравнений ОТО. Один тип мы обозначаем как решения  $(\gamma, U, P_r, P_\theta)$ -типа, а другой – как решения  $(\alpha, \gamma, U, P)$ -типа. Оба типа решений анализируются на предмет согласия их с базовыми принципами ОТО: отсутствие сингулярностей у компонент метрики, эволюционность решения, наличие механизма остановки коллапса. Некоторые из этих принципов, как оказывается, нарушаются в каждом типе решений.

В заключение полученные в работе результаты обсуждаются.

## 1. Решения типа $(\gamma, U, P_r, P_\theta)$

### 1.1. Квадрат интервала для ЦСС решений типа $(\gamma, U, P_r, P_\theta)$

Частным случаем квадрата интервала (3) является квадрат интервала в следующей форме:

$$ds^2 = -fdt^2 + \frac{dr^2}{f} + r^2 [d\theta^2 + \sin^2 \theta d\varphi^2]. \quad (10)$$

Функция  $f$  зависит от радиальной переменной  $r$ , эту функцию будем обозначать так же, как  $f = e^\gamma$ . Форму (10) будем называть квадратом интервала в форме  $(\gamma, U, P_r, P_\theta)$ . Название связано с названиями функций, которые входят в систему уравнений. При этом под  $P_r$  понимается  $P_r = T_1^1$ , а под  $P_\theta$  – величина  $P_\theta = T_2^2$ . Для решений с квадратом интервала в форме  $(\gamma, U, P_r, P_\theta)$  выполняется, как будет следовать из последующего, равенство между  $M^{ph}c^2$  и

$$E^{ph} = 4\pi \int_0^{\bar{r}} r^2 dr e^{\frac{1}{2}(\gamma+\alpha)} U^{ph}. \quad (11)$$

Уравнения ОТО (5)–(7) для ЦСС задачи с квадратом интервала (10) записываются в виде:

$$\frac{1}{r^2} e^\gamma (1 + r\gamma') - \frac{1}{r^2} = -U, \quad (12)$$

$$\frac{1}{r^2} e^\gamma (1 + r\gamma') - \frac{1}{r^2} = T_1^1, \quad (13)$$

$$e^\gamma \left[ \frac{\gamma''}{2} + \frac{\gamma'^2}{2} + \frac{\gamma'}{r} \right] = T_2^2. \quad (14)$$

Из уравнений (12), (13) сразу следуют два результата общего характера. Во-первых,

$$T_1^1 = -U, \quad (15)$$

т. е. соотношение, справедливость которого очевидна просто из сравнения уравнений (12) и (13). Во-вторых, из уравнения (12) следует соотношение

$$\int_0^{\bar{r}} r^2 dr U(r) = r_0. \quad (16)$$

Покажем это. Запишем уравнение (12) в виде

$$-(re^\gamma)' + 1 = r^2 U. \quad (17)$$

Интегрируем равенство (17) от нуля до радиуса ПР с учетом того, что функция  $e^\gamma$  при  $r = \bar{r}$  равна

$$e^\gamma = 1 - \frac{r_0}{\bar{r}}.$$

$$-\int_0^{\bar{r}} dr (re^\gamma)' + \bar{r} = \int_0^{\bar{r}} r^2 U dr. \quad (18)$$

В первом слагаемом в левой части (18) под знаком интеграла стоит производная по радиальной переменной, поэтому интегрирование дает

$$\int_0^{\bar{r}} r^2 U dr = -(re^\gamma) \Big|_0^{\bar{r}} + \bar{r} = -\bar{r} \left(1 - \frac{r_0}{\bar{r}}\right) + \bar{r} = r_0. \quad (19)$$

В результате приходим к соотношению (16).

Покажем далее, что выполнение равенства (16) означает, что полная энергия объекта  $E^{ph}$  связана с наблюдаемой извне массой объекта  $M^{ph}$  соотношением

$$E^{ph} = M^{ph} c^2. \quad (20)$$

Энергия внутренней части ЦСС решения определяется интегралом

$$E = 4\pi \int_0^{\bar{r}} r^2 dr \sqrt{-g_{00}g_{11}} U(r). \quad (21)$$

Поскольку в случае метрики (10) выполняется соотношение

$$g_{00}g_{11} = -1, \quad (22)$$

то величина  $E$  сводится к интегралу

$$E = 4\pi \int_0^{\bar{r}} r^2 dr U(r). \quad (23)$$

Переходим от  $E$  к  $E^{ph}$  и используем определение гравитационного радиуса  $r_0 = (2GM^{ph})/c^2$ .

$$\begin{aligned} E &= \frac{8\pi G}{c^4} E^{ph} = 4\pi \left( \frac{2GM^{ph}}{c^2} \right) \left( \frac{E^{ph}}{M^{ph} c^2} \right) = \\ &= 4\pi r_0 \left( \frac{E^{ph}}{M^{ph} c^2} \right). \end{aligned} \quad (24)$$

Соотношения (23), (24) приводят к

$$E^{ph} = \frac{1}{r_0} \left[ \int_0^{\bar{r}} r^2 dr U(r) \right] (M^{ph} c^2). \quad (25)$$

Если выполняется равенство (16), то, как следует из (25), выполняется и (20).

Отметим существенный факт. При доказательстве соотношения (16) нам нигде не потребовался явный вид функции  $f = e^\gamma$ , использовалось только уравнение (12). Это означает, что соотношение (16) удовлетворяется независимо от того, какой вид имеет функция  $f$ .

## 1.2. Серия ЦСС решений типа $(\gamma, U, P_r, P_\theta)$

Система уравнений (12)–(14) состоит из трех уравнений, а число входящих в эту систему функций равно четырем:  $\gamma, U, T_1^1, T_2^2$ . Для нахождения конкретных решений этой системы обычно задают «руками» одну из четырех функций, а потом с помощью уравнений (12)–(14) находят три другие функции. Как правило, задают функцию  $U(r)$ . Мы поступим другим способом – будем задавать «руками» функцию  $f = e^\gamma$ . После этого из уравнения (12) будем находить функцию  $U$ , а из уравнения (14) – функцию  $T_2^2$ . Четвертая искомая функция  $T_1^1$  определяется при этом соотношением (15).

При выборе вида функции  $f = e^\gamma$  будем исходить из следующих условий:

1) в интервале  $0 < r < \bar{r}$  она не должна обращаться ни в нуль, ни в бесконечность:

$$0 < f < \infty; \quad (26)$$

2) на радиусе поверхности разрыва она и ее первая производная должны гладко сшиваться с соответствующими функциями внешней части решения:

$$f(\bar{r}) = 1 - \frac{r_0}{\bar{r}}; \quad (27)$$

$$f'(\bar{r}) = \frac{r_0}{\bar{r}^2}; \quad (28)$$

3) плотность энергии, вычисленная с помощью уравнения (12) и функции  $f = e^\gamma$ , не должна быть сингулярной.

Оказывается, перечисленные три требования могут быть удовлетворены бесконечным числом способов. Мы ограничимся простейшим случаем, когда функция  $f = e^\gamma$  имеет вид\*

$$e^\gamma = 1 - \frac{r_0 r^n}{\bar{r}^{n+1}} \left[ \frac{(1+n+m)}{m} - \frac{(1+n)}{m} \frac{r^m}{\bar{r}^m} \right]. \quad (29)$$

Здесь  $(n, m)$  – пара целых положительных чисел, причем  $n \geq 2$ .

Функция (29) в интервале  $(0, \bar{r})$  имеет минимум в точке

$$\bar{r} = \bar{r} \left( \frac{n(n+m+1)}{(1+n)(n+m)} \right)^{1/m}. \quad (30)$$

Значение функции (29) в точке минимума равно

$$\min(e^\gamma) = 1 - \frac{r_0}{\bar{r}} \left( \frac{n(1+n+m)}{(1+n)(n+m)} \right)^{n/m} \frac{(1+n+m)}{(n+m)}. \quad (31)$$

Из (31) следует, что при

$$\bar{r} > r_0 \left( 1 + \frac{1}{(n+m)} \right) \left( 1 - \frac{m}{(1+n)(n+m)} \right)^{n/m} \quad (32)$$

минимальное значение функции  $f = e^\gamma$  строго больше нуля.

Плотность энергии, соответствующая (29), равна

$$U = \frac{(1+n+m)(1+n)}{m} \frac{r_0 r^{n-2}}{\bar{r}^{n+1}} \left[ 1 - \frac{r^m}{\bar{r}^m} \right]. \quad (33)$$

Функция (33) имеет спадающий характер и при  $r = \bar{r}$  обращается в нуль.

В табл. 1 приведены явные выражения для функций  $e^\gamma$  и  $U$  для трех пар чисел  $(n, m)$ .

Для вариантов пар чисел, указанных в табл. 1, на рис. 1 приведены характерные зависимости функции  $e^\gamma$  от радиальной переменной, а на рис. 2 – то же самое для функции  $r_0^2 U$ . На рис. 2 для сравнения приведена также функция  $r_0^2 U$  для решения Шварцшильда. Видно, что наиболее близка

к функции  $r_0^2 U$  для решения Шварцшильда функция  $r_0^2 U$  для варианта III.

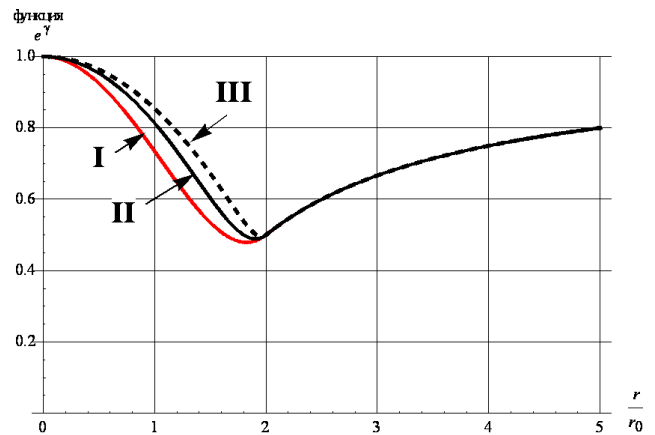


Рис. 1. Зависимость функции  $e^\gamma$  от радиальной переменной при различных вариантах пар чисел  $(n, m)$  и  $\bar{r} = 2r_0$  (см. табл. 1)

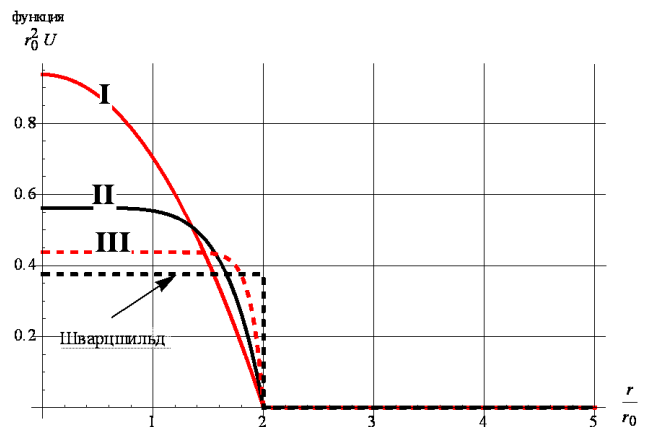


Рис. 2. Зависимость функции  $r_0^2 U$  от радиальной переменной при различных вариантах пар чисел  $(n, m)$  и  $\bar{r} = 2r_0$  (см. табл. 1)

В табл. 2 приведены значения компонент тензора энергии-импульса  $T_1^1$ ,  $T_2^2$ , а также давления  $P = \frac{1}{3}(T_1^1 + 2T_2^2)$  для вариантов пар чисел  $(n, m)$ , указанных в табл. 1. На рис. 3,а,б,в три указанные величины изображены для каждого из трех вариантов для радиуса поверхности разрыва, равного  $\bar{r} = 2r_0$ .

\* Приведенное в [12] решение является частным случаем решения (29), соответствующим  $(n, m) = (2, 1)$ .

Таблица 1

Функции  $e^\gamma$  и  $U$  для трех пар чисел  $(n, m)$  в диапазоне от  $r = 0$  до  $r = \bar{r}$

Вариант $(n, m)$	$e^\gamma$	$U$	$\bar{r}$	$\min(\bar{r})$ из условия (32)
I (2, 2)	$e^\gamma = 1 - \frac{5 r_0 r^2}{2 \bar{r}^3} + \frac{3 r_0 r^4}{2 \bar{r}^5}$	$U = \frac{15 r_0}{2 \bar{r}^3} \left( 1 - \frac{r^2}{\bar{r}^2} \right)$	$0,913 \cdot \bar{r}$	$1,0417 \cdot r_0$
II (2, 6)	$e^\gamma = 1 - \frac{3 r_0 r^2}{2 \bar{r}^3} + \frac{1 r_0 r^8}{2 \bar{r}^9}$	$U = \frac{9 r_0}{2 \bar{r}^3} \left( 1 - \frac{r^6}{\bar{r}^6} \right)$	$0,953 \cdot \bar{r}$	$1,0221 \cdot r_0$
III (2, 18)	$e^\gamma = 1 - \frac{7 r_0 r^2}{6 \bar{r}^3} + \frac{1 r_0 r^{20}}{6 \bar{r}^{21}}$	$U = \frac{7 r_0}{2 \bar{r}^3} \left( 1 - \frac{r^{18}}{\bar{r}^{18}} \right)$	$0,980 \cdot \bar{r}$	$1,0092 \cdot r_0$

Таблица 2

Функции  $T_1^1$ ,  $T_2^2$  и  $P$  для трех пар чисел  $(n, m)$  в диапазоне от  $r = 0$  до  $r = \bar{r}$

Вариант $(n, m)$	$T_1^1$	$T_2^2$	$P = \frac{1}{3}(T_1^1 + 2T_2^2)$
I (2, 2)	$T_1^1 = -\frac{15 r_0}{2 \bar{r}^3} \left( 1 - \frac{r^2}{\bar{r}^2} \right)$	$T_2^2 = -\frac{15 r_0}{2 \bar{r}^3} \left( 1 - 2 \frac{r^2}{\bar{r}^2} \right)$	$P = -\frac{15 r_0}{2 \bar{r}^3} + \frac{25 r_0 r^2}{2 \bar{r}^5}$
II (2, 6)	$T_1^1 = -\frac{9 r_0}{2 \bar{r}^3} \left( 1 - \frac{r^6}{\bar{r}^6} \right)$	$T_2^2 = -\frac{9 r_0}{2 \bar{r}^3} \left( 1 - 4 \frac{r^6}{\bar{r}^6} \right)$	$P = -\frac{9 r_0}{2 \bar{r}^3} + \frac{27 r_0 r^6}{2 \bar{r}^9}$
III (2, 18)	$T_1^1 = -\frac{7 r_0}{2 \bar{r}^3} \left( 1 - \frac{r^{18}}{\bar{r}^{18}} \right)$	$T_2^2 = -\frac{7 r_0}{2 \bar{r}^3} \left( 1 - 10 \frac{r^{18}}{\bar{r}^{18}} \right)$	$P = -\frac{7 r_0}{2 \bar{r}^3} + \frac{49 r_0 r^{18}}{2 \bar{r}^{21}}$

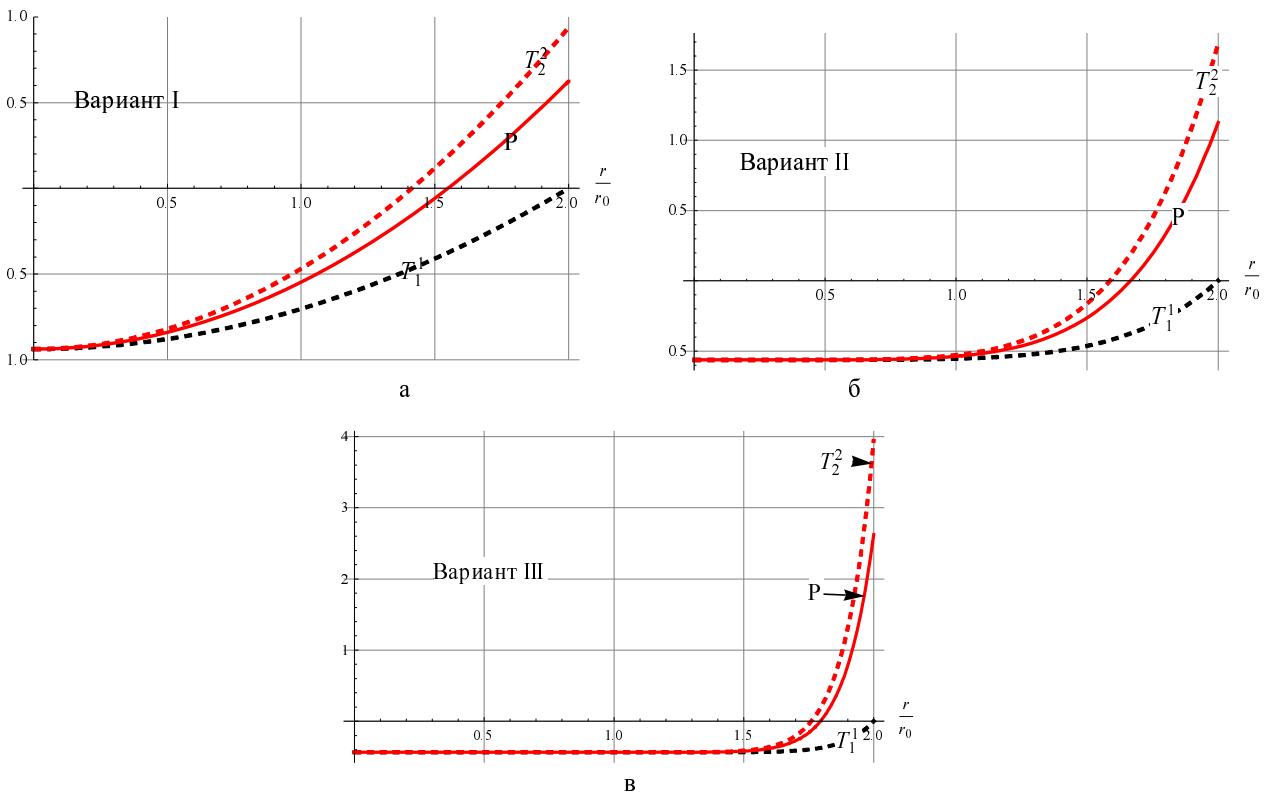


Рис. 3. Зависимость функций  $T_1^1$ ,  $T_2^2$ ,  $P$  (в единицах  $r_0^2$ ) от радиальной переменной внутри объекта при  $\bar{r} = 2r_0$ : а – вариант I; б – вариант II; в – вариант III

У каждого из вариантов давление вблизи поверхности разрыва положительно. Наибольшей величины давление достигает в третьем варианте, профиль плотности энергии у которого наиболее близок к использованному Шварцшильдом.

В центре объекта во всех вариантах и при всех радиусах поверхности разрыва давление отрицательно и по модулю равно плотности энергии. Такое уравнение состояния среды описывает, как известно, темную энергию. В отличие от космологического решения, в котором темная энергия обусловлена лямбда-членом, в рассматриваемых ЦСС решениях темная энергия возникает как следствие уравнений ОТО и предположений относительно квадрата интервала (10).

## 2. Движение пробной частицы в поле ЦСС решений типа $(\gamma, U, P_r, P_\theta)$

### 2.1. Величины, характеризующие движение пробной частицы

Движение пробной классической бесструктурной незаряженной частицы внутри объекта не может происходить по геодезической, поскольку частица взаимодействует со средой. Чтобы исключить это взаимодействие, будем предполагать, что в объекте сделана полость малых размеров, не влияющая на гравитационное поле. В полости среды нет, но имеется гравитационное поле, в котором в течение короткого времени частица и движется по геодезической.

Для описания движения пробной частицы в гравитационном поле обычно используются следующие величины:

1) вектор 4-скорости

$$u^\alpha = \frac{dx^\alpha}{d\tau}; \quad (34)$$

2) координатная скорость

$$v^k = \frac{dx^k}{dt}; \quad (35)$$

3) скорость  $V^k$  пробной частицы, которую измеряет наблюдатель в мгновенно инерциальной системе отсчета в той точке и в тот момент времени, в которых находится частица. Таких инерциальных систем бесконечно много, все они связаны лоренцевым преобразованием. В случае ЦСС задачи для нахождения  $V^k$  используется система, ось времени которой направлена по временипо-

добному вектору Киллинга, а одна из пространственных осей – по радиусу.

Скорость  $V^k$  иногда называется физической, этот термин будет использоваться и в данной работе. Модуль скорости  $V^k$  дается соотношением

$$V = \frac{\sqrt{\left[ g_{mn} - \frac{g_{0m}g_{0n}}{g_{00}} \right] dx^m dx^n}}{\sqrt{-g_{00}} dt - \frac{g_{0k}}{\sqrt{-g_{00}}} dx^k}. \quad (36)$$

В случае центрально-симметричного статического (ЦСС) гравитационного поля с квадратом интервала

$$ds^2 = -e^\gamma dt^2 + e^\alpha dr^2 + r^2 [d\theta^2 + \sin^2 \theta d\varphi^2] \quad (37)$$

и движения пробной частицы по радиусу выражения для величин (34)–(36) имеют вид:

$$u^0 = \frac{1}{\sqrt{e^\gamma - e^\alpha v^2}}, u^1 = \pm \frac{v}{\sqrt{e^\gamma - e^\alpha v^2}}, u^2 = u^3 = 0; \quad (38)$$

$$v = \pm \frac{dr}{dt}; \quad (39)$$

$$V = \frac{e^{\alpha/2} dr}{e^{\gamma/2} dt} = e^{\frac{1}{2}(\alpha-\gamma)} v. \quad (40)$$

В случае, если квадрат интервала (37) сводится к (10), то в выражениях (38)–(40) необходимо положить  $\alpha = -\gamma$ . После этого выражения (38)–(40) принимают более простой вид:

$$u^0 = \frac{1}{\sqrt{e^\gamma - e^{-\gamma} v^2}}, u^1 = \pm \frac{v}{\sqrt{e^\gamma - e^{-\gamma} v^2}}, u^2 = u^3 = 0; \quad (41)$$

$$v = \pm \frac{dr}{dt}; \quad (42)$$

$$V = \frac{e^{-\gamma} dr}{dt} = e^{-\gamma} v. \quad (43)$$

### 2.2. Движение по геодезической

Свободное движение частицы происходит по геодезической, уравнение которой определяется с помощью 4-скорости (34):

$$u^\varepsilon u^\alpha_{;\varepsilon} = u^\varepsilon \left[ u^\alpha_{;\varepsilon} + \left( \begin{matrix} \alpha \\ \varepsilon\sigma \end{matrix} \right) u^\sigma \right] = 0. \quad (44)$$

Закон изменения координатной скорости при свободном падении пробной частицы по радиусу на центр в ЦСС поле с квадратом интервала (10)

рассматриваются во многих работах. Здесь мы приведем без вывода результаты такого рассмотрения.

В случае квадрата интервала (10) координатная скорость меняется по закону

$$v = \begin{cases} -e^\gamma \sqrt{1-e^\gamma} & \text{при } r < \bar{r}, \\ -\left(1 - \frac{r_0}{r}\right) \sqrt{\frac{r_0}{r}} & \text{при } r > \bar{r}. \end{cases} \quad (45)$$

Подстановка (45) в (43) дает

$$V = \begin{cases} -\sqrt{1-e^\gamma} & \text{при } r < \bar{r}, \\ -\sqrt{\frac{r_0}{r}} & \text{при } r > \bar{r}. \end{cases} \quad (46)$$

На рис. 4 приведены характерные зависимости физической скорости для различных вариантов решений в форме  $(\gamma, U, P_r, P_\theta)$ . В области вне объекта, т. е. при  $r > \bar{r}$  во всех вариантах скорость частицы увеличивается по модулю по единому закону по мере приближения к объекту. После пересечения поверхности разрыва скорость падает по модулю, что можно интерпретировать как тормозящее действия гравитации на частицу (антигравитация).

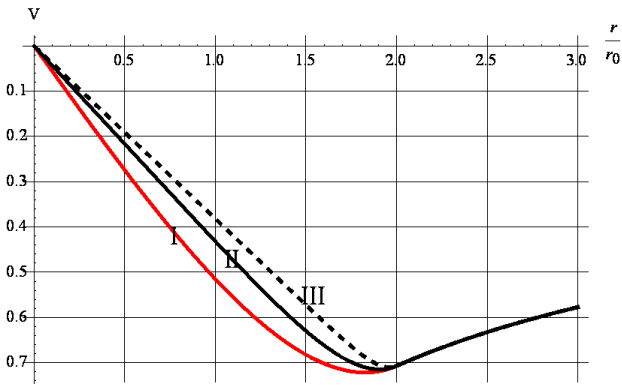


Рис. 4. Зависимость физической скорости от радиальной переменной при  $\bar{r} = 2r_0$  (варианты I, II, III)

### 3. Решения типа $(\alpha, \gamma, U, P)$

#### 3.1. Серия ЦСС решений типа $(\alpha, \gamma, U, P)$

В этом разделе рассматриваются ЦСС решения уравнений ОТО в предположении о том, что среда, заполняющая объект, изотропна. В этом предположении  $T_1^1 = T_2^2 = P$ , уравнения ОТО имеют вид (5)–(7), т. е.

$$\frac{1}{r^2} e^{-\alpha} (1 - r\alpha') - \frac{1}{r^2} = -U; \quad (47)$$

$$\frac{1}{r^2} e^{-\alpha} (1 + r\gamma') - \frac{1}{r^2} = P; \quad (48)$$

$$e^{-\alpha} \left( \frac{\gamma''}{2} + \frac{\gamma'^2}{4} + \frac{\gamma'}{2r} - \frac{\alpha'}{2r} - \frac{\alpha'\gamma'}{4} \right) = P. \quad (49)$$

Дополнительное предположение, необходимое для решения системы (47)–(49), будет сводиться к условиям, которые в разделе 1 предъявлялись к  $e^\gamma$ , а в данном разделе будут предъявляться к функции  $e^\alpha$ . Эти условия состоят в следующем:

1) в интервале  $0 < r < \bar{r}$  функция  $e^\alpha$  не должна обращаться ни в нуль, ни в бесконечность:

$$0 < e^\alpha < \infty; \quad (50)$$

2) на поверхности объекта она и ее первая производная должны гладко сшиваться с соответствующими функциями внешней части решения:

$$e^{-\alpha} \Big|_{r=\bar{r}} = 1 - \frac{r_0}{\bar{r}}; \quad (51)$$

$$\left( e^{-\alpha} \right)' \Big|_{r=\bar{r}} = \frac{r_0}{\bar{r}^2}; \quad (52)$$

3) плотность энергии, вычисленная с помощью уравнения (47) и функции  $e^\alpha$ , не должна быть сингулярной.

Оказывается, перечисленные три требования могут быть удовлетворены, если функцию  $e^{-\alpha}$  взять в виде

$$e^{-\alpha} = 1 - \frac{r_0 r^n}{\bar{r}^{n+1}} \left[ \frac{(1+n+m)}{m} - \frac{(1+n)}{m} \frac{r^m}{\bar{r}^m} \right]. \quad (53)$$

Здесь  $(n, m)$  – одна пара целых положительных чисел, причем  $n \geq 2$ .

Функция (53) в интервале  $(0, \bar{r})$  имеет минимум в точке

$$\tilde{r} = \bar{r} \left( \frac{n(n+m+1)}{(1+n)(n+m)} \right)^{1/m}. \quad (54)$$

Значение функции (53) в точке минимума равно

$$\min(e^\gamma) = 1 - \frac{r_0}{\bar{r}} \left( \frac{n(1+n+m)}{(1+n)(n+m)} \right)^{n/m} \frac{(1+n+m)}{(n+m)}. \quad (55)$$

Из (55) следует, что при

$$\bar{r} > r_0 \left(1 + \frac{1}{(n+m)}\right) \left(1 - \frac{m}{(1+n)(n+m)}\right)^{n/m} \quad (56)$$

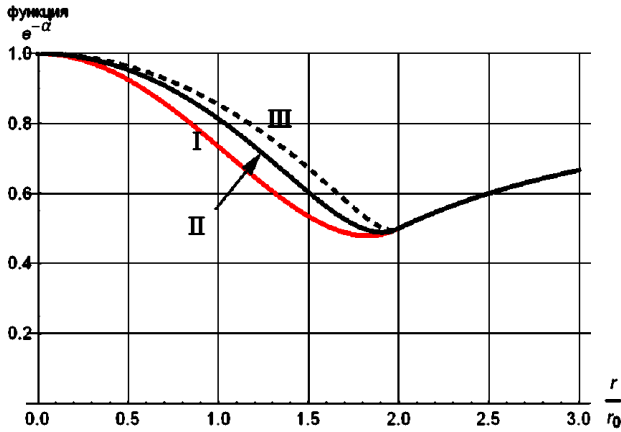
минимальное значение функции  $e^{-\alpha}$  строго больше нуля.

Плотность энергии, соответствующая (53), равна

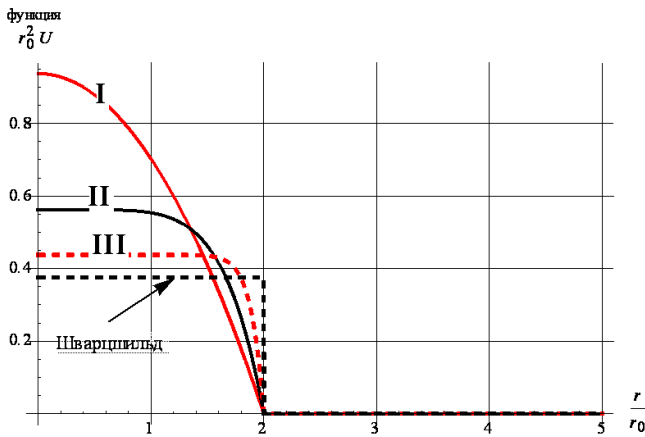
$$U = \frac{(1+n+m)(1+n)}{m} r_0 r^{n-2} \left[1 - \frac{r^m}{\bar{r}^m}\right]. \quad (57)$$

Функция (57) имеет спадающий характер и при  $r = \bar{r}$  обращается в нуль.

Явный вид для функций  $e^{-\alpha}$  и  $U$  для трех пар чисел  $(n, m)$  совпадает с явным видом функций  $e^\gamma$  и  $U$  для таких же трех пар чисел  $(n, m)$ , приведенных в табл. 1.



а



б

Рис. 5. Зависимость функции  $e^{-\alpha}$  (а) и функции  $r_0^2 U$  (б) от радиальной переменной при различных вариантах пар чисел  $(n, m)$  (см. табл. 1)

Для вариантов пар чисел, указанных в табл. 1, на рис. 5,а приведены характерные зависимости функции  $e^{-\alpha}$  от радиальной переменной, а на рис. 5,б – то же самое для функции  $r_0^2 U$ . На рис. 5,б для сравнения приведена также функция  $r_0^2 U$  для решения Шварцшильда. Видно, что наиболее близка к функции  $r_0^2 U$  для решения Шварцшильда функция  $r_0^2 U$  для варианта III.

Табл. 1 и рис. 1 относились к функции  $e^\gamma$ , которая совпадала с  $e^{-\alpha}$ . В этом разделе соответствующие данные относятся только к функции  $e^{-\alpha}$ . В рассматриваемой схеме для нахождения функции  $e^\gamma$  требуется решить дифференциальное уравнение, которое получается далее.

### 3.2. Нахождение $g_{00}$ и $P$

Находить компоненту метрики  $g_{00} = -e^\gamma$  будем из уравнения, которое получается почленным вычитанием уравнения (49) из уравнения (48)

$$\frac{\gamma''}{2} + \frac{\gamma'^2}{4} - \frac{\gamma'}{2r} - \frac{\alpha'}{2r} - \frac{\alpha'\gamma'}{4} - \frac{1}{r^2} + \frac{1}{r^2} e^\alpha = 0. \quad (58)$$

В уравнение (58) входят величины двух типов: зависящие от  $\alpha$  и зависящие от  $\gamma$ . Все величины первого типа известны. Поэтому уравнение (58) представляет собой нелинейное обыкновенное дифференциальное уравнение второго порядка для функции  $\gamma$ . Перейдем в этом уравнении от функции  $\gamma$  к функции  $f = e^\gamma$ . Получим:

$$f'' = \frac{f'^2}{2f} + \left(\frac{1}{r} + \frac{\alpha'}{2}\right) f' + \left[\frac{2}{r} \left(\frac{1}{r} + \frac{\alpha'}{2}\right) - \frac{2}{r^2} e^\alpha\right] f. \quad (59)$$

Вычисление входящих в (59) коэффициентов при функции  $f$  и ее производной, а также переход к безразмерным переменным

$$x = \frac{r}{r_0}, \quad \bar{x} = \frac{\bar{r}}{r_0} \quad (60)$$

и к дифференцированию по  $x$ ,

$$f' = \dot{f}/r_0, \quad f'' = \ddot{f}/r_0^2, \quad (61)$$

приводит к следующим уравнениям для функции  $f$ :



вариант I:

$$x \left[ 1 - \frac{5x^2}{2x^3} + \frac{3x^4}{2x^5} \right] \ddot{f} = \frac{\dot{f}^2}{2f} x \left[ 1 - \frac{5x^2}{2x^3} + \frac{3x^4}{2x^5} \right] + \left( 1 - \frac{3x^4}{2x^5} \right) \dot{f} - 3 \frac{x^3}{x^5} f; \quad (62)$$

вариант II:

$$x \left[ 1 - \frac{3x^2}{2x^3} + \frac{1x^8}{2x^9} \right] \ddot{f} = \frac{\dot{f}^2}{2f} x \left[ 1 - \frac{3x^2}{2x^3} + \frac{1x^8}{2x^9} \right] + \left( 1 - \frac{3x^8}{2x^9} \right) \dot{f} - 3 \frac{x^7}{x^9} f; \quad (63)$$

вариант III:

$$x \left[ 1 - \frac{7x^2}{6x^3} + \frac{1x^{20}}{6x^{21}} \right] \ddot{f} = \frac{\dot{f}^2}{2f} x \left[ 1 - \frac{7x^2}{6x^3} + \frac{1x^{20}}{6x^{21}} \right] + \left( 1 - \frac{3x^{20}}{2x^{21}} \right) \dot{f} - 3 \frac{x^{19}}{x^{21}} f. \quad (64)$$

Явный вид функций  $f$ , являющихся решениями уравнений (62)–(64), найдем методом численного счета.

Давление может быть найдено из уравнения (48). В это уравнение входят известная функция  $e^{-\alpha}$  и функция  $\gamma' = f'/f$ , которая к этому моменту найдена путем численного решения уравнения. Уравнение (48) в терминах безразмерных переменных (60), (61) принимает следующую форму:

вариант I:

$$(r_0^2 P) = \frac{1}{x^2} \left[ 1 - \frac{5x^2}{2x^3} + \frac{3x^4}{2x^5} \right] \left( 1 + x \frac{\dot{f}}{f} \right) - \frac{1}{x^2}; \quad (65)$$

вариант II:

$$(r_0^2 P) = \frac{1}{x^2} \left[ 1 - \frac{3x^2}{2x^3} + \frac{1x^8}{2x^9} \right] \left( 1 + x \frac{\dot{f}}{f} \right) - \frac{1}{x^2}; \quad (66)$$

вариант III:

$$(r_0^2 P) = \frac{1}{x^2} \left[ 1 - \frac{7x^2}{6x^3} + \frac{1x^{20}}{6x^{21}} \right] \left( 1 + x \frac{\dot{f}}{f} \right) - \frac{1}{x^2}. \quad (67)$$

### 3.3. Численные расчеты $g_{00}$ , $P$ и скорости пробной частицы

На рис. 6–8 для варианта I приведены графики функций  $e^{-\alpha}$ ,  $e^\gamma$ ,  $(P/U)$ , физической скорости для радиусов объекта  $\bar{r} = 1,5r_0$ ,  $\bar{r} = 3r_0$ ,  $\bar{r} = 10r_0$ . Для

других двух вариантов графики перечисленных величин качественно аналогичны приведенным графикам для соответствующих величин, поэтому здесь не приводятся.

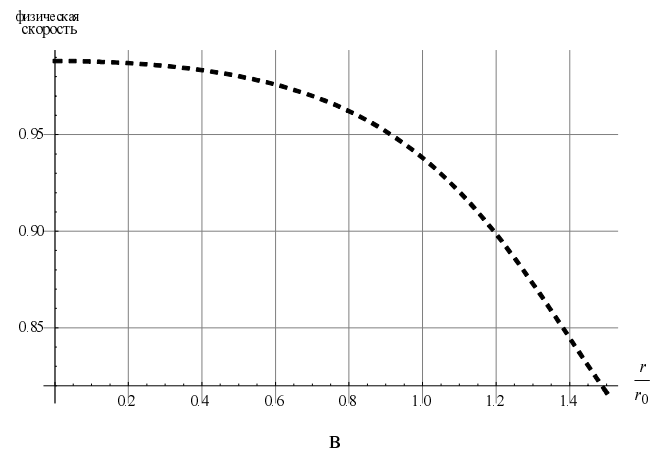
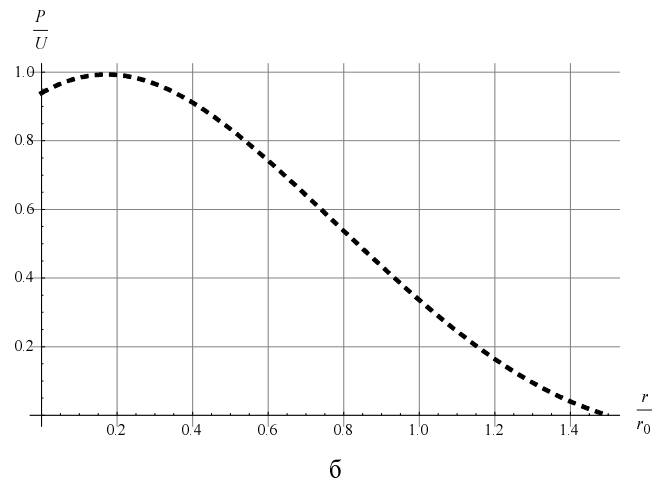
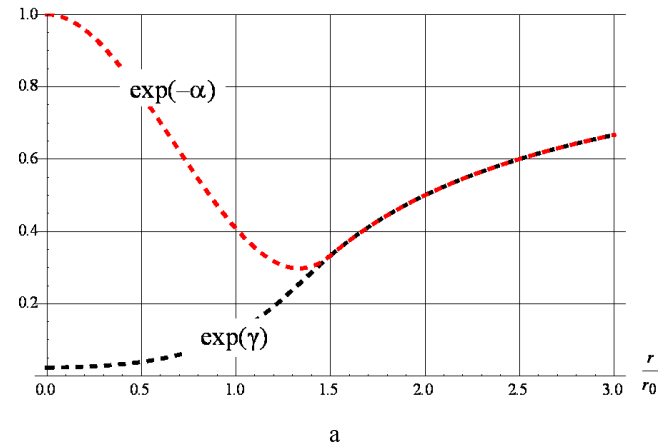
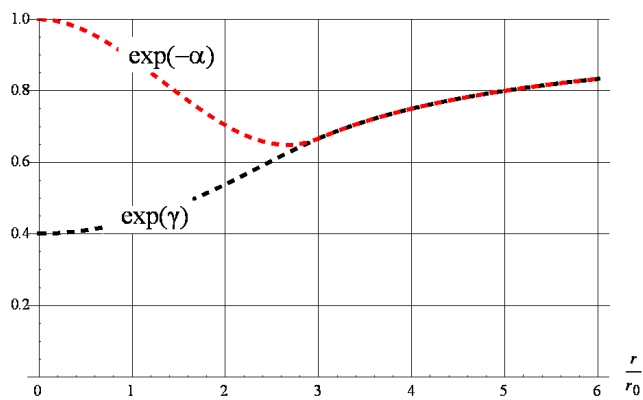
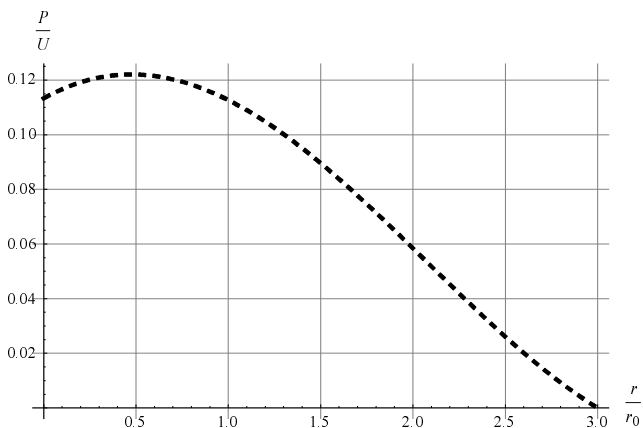


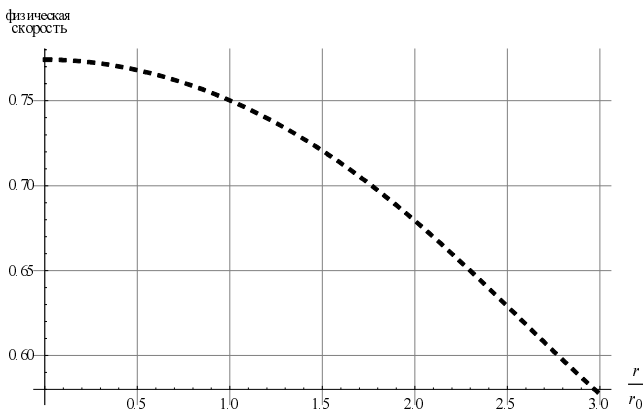
Рис. 6. Зависимость функций  $e^{-\alpha}$  и  $e^\gamma$  (а), отношения  $(P/U)$  (б) и физической скорости пробной частицы (в) от радиальной переменной для варианта I  $((n, m) = (2, 2))$ ,  $\bar{r} = 1,5r_0$



а

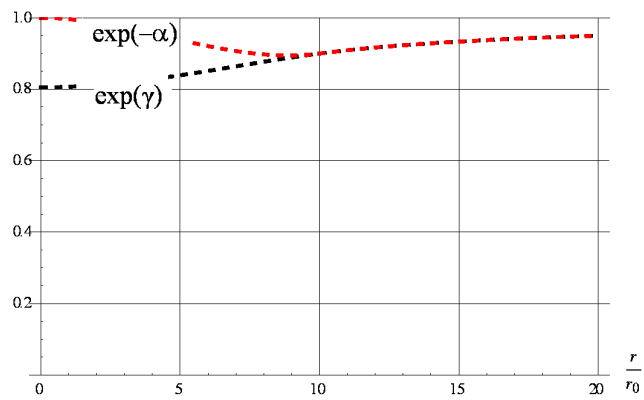


б

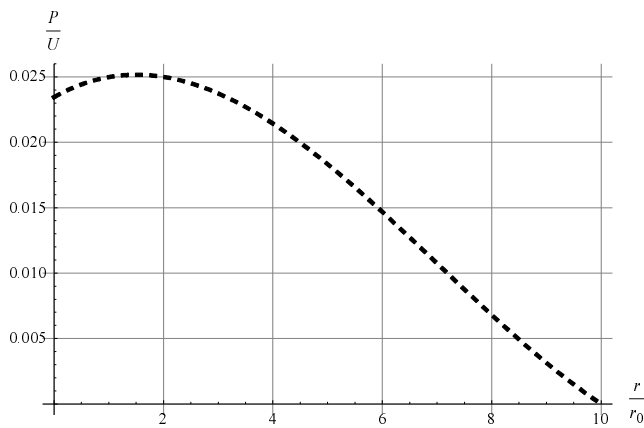


в

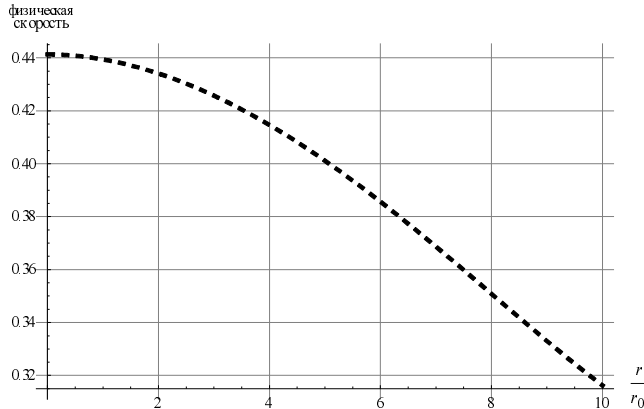
Рис. 7. Зависимость функций  $e^{-\alpha}$  и  $e^{\gamma}$  (а), отношения  $(P/U)$  (б) и физической скорости пробной частицы (в) от радиальной переменной для варианта I  $((n, m) = (2, 2))$ ,  $\bar{r} = 3r_0$



а



б



в

Рис. 8. Зависимость функций  $e^{-\alpha}$  и  $e^{\gamma}$  (а), отношения  $(P/U)$  (б) и физической скорости пробной частицы (в) от радиальной переменной для варианта I  $((n, m) = (2, 2))$ ,  $\bar{r} = 10r_0$

#### 4. Обсуждение результатов

В работе получены две серии ЦСС точных решений уравнений ОТО. В разделах 1, 2 – решения  $(\gamma, U, P_r, P_\theta)$ -типа, в разделе 3 – решения  $(\gamma, \alpha, U, P)$ -типа. Проведенное рассмотрение ограничено только решениями, состоящими из двух частей: внутренней и внешней. Обе части решений сшиваются на поверхности объекта так, чтобы были непрерывны компоненты метрики и их первые производные. Этот атрибут решений позволяет утверждать, что они удовлетворяют правилам постановки задачи Коши для уравнений ОТО и, следовательно:

\* могут быть получены в качестве финальных состояний нестационарных процессов с гравитационным полем,

\* могут быть использованы в качестве начальных данных при нестационарных возмущениях гравитационного поля.

Однако ни одно из полученных ЦСС решений решаемых до этого момента уравнений ОТО

$$G_{\alpha\beta} = T_{\alpha\beta}^M \quad (68)$$

не может считаться приемлемым с физической точки зрения по следующим причинам.

##### Проблемы решений $(\alpha, \gamma, U, P)$ :

\* Энергия объекта  $E$  всегда меньше  $Mc^2$ .

\* Предсказывает неизбежность коллапса по двум признакам. Во-первых, пробная частица внутри объекта притягивается к центру, что подтверждает рассуждения Оппенгеймера–Снайдера о безграничном сжатии. Во-вторых, энергия связи растет по модулю по мере приближения радиуса объекта к  $(9/8)r_0$ . В физике всегда считалось, что состояние с максимальной энергией связи является основным – самым устойчивым. Так что объект будет неизбежно стремиться прийти в основное состояние. Это было бы не страшно, если бы свойства этого состояния были «нормальными». Но таковыми их не назовешь, поскольку давление обращается в бесконечность, а компонента  $g_{00}$  в нуль.

Свойства решений типа  $(\alpha, \gamma, U, P)$  качественно совпадают с аналогичными свойствами решения Шварцшильда, рассмотренными в [1]. Даже в тех случаях, когда профили плотности энергии, давления и компонент метрики заметно различаются. Поэтому и вывод по решениям типа  $(\alpha, \gamma, U, P)$  не отличается от того, который сделан

в отношении решения Шварцшильда: основной недостаток решений типа  $(\alpha, \gamma, U, P)$  состоит в том, что они предсказывают неизбежность коллапса. В отличие от сценария коллапса, сформулированного Оппенгеймером и Снайдером в [11], объект не скрывается под горизонтом событий, а достигает радиуса  $\bar{r} = (9/8)r_0$ , при котором давление в центре бесконечно, а компонента  $g_{00}$  обращается в нуль.

##### Проблемы решений $(\gamma, U, P_r, P_\theta)$ :

\* В центре объекта уравнение состояния среды соответствует темной энергии. И это имеет место при любой даже сколь угодно малой массе объекта. Такого никогда никем не наблюдалось.

\* Объект по всему своему объему находится в состоянии растягивающих радиальных сил, поскольку  $T_1^1 = -U$ . Это противоречит ньютоновским и постньютоновским представлениям, которые заведомо справедливы при радиусах объекта, намного превышающих гравитационный радиус.

\* По всему объему объекта имеет место анизотропия среды, поскольку  $T_1^1 \neq T_2^2$ . Это противоречит обычным представлениям о существовании локальной термодинамической величины – давления, которое и характеризует напряженное состояние среды.

Перечисленные свойства решений типа  $(\gamma, U, P_r, P_\theta)$  качественно отличаются от свойств решений типа  $(\alpha, \gamma, U, P)$ , но имеют такой характер, который делает их физически неприемлемыми. Вместе с тем интересно заметить, что в ЦСС решениях  $(\gamma, U, P_r, P_\theta)$ -типа коллапс в принципе невозможен, поскольку в решениях этого типа нарушается основное предположение о притяжении вещества к центру под действием гравитационных сил. В ЦСС решениях этого типа по мере приближения вещества к центру гравитационные силы не притягивают его к центру, а отталкивают от центра.

Резюмируя, мы приходим к тому выводу, который был сделан в работе [1], а именно: проблема построения физически приемлемого ЦСС решения уравнений ОТО в настоящее время не решена. Для нас очевидно, что нахождение такого решения является актуальной задачей с различных точек зрения: уточнения области применимости ОТО, внесения ясности в теорию эволюции звезд, а также в постановку граничных условий в задачах по численному моделированию нестационарных процессов в рамках ОТО (см., например, [13–15]).

Автор благодарит В. П. Незнамова за полезные дискуссии и ценные замечания.

### Список литературы

1. Горбатенко М. В. *Решение Шварцшильда и его анализ* // ВАНТ. Сер. Теоретическая и прикладная физика. 2016. Вып. 3. С. 41–50.
2. Лихнерович А. *Теория относительности и математическая физика* // Астрофизика, кванты и теория относительности. М.: Мир, 1982. С. 129–214.
3. Lichnerowicz A. *Applications of Nonlinear Partial Differential Equations in Mathematical Physics. Proc. of Symposia in Appl. Maths.* 1965. Vol. XVII. Providence. P. 189.
4. Фишер А., Марсден Дж. *Проблема начальных данных и динамическая формулировка общей теории относительности* // Общая теория относительности. М.: Мир, 1983. С. 87–162.
5. Петров А. З. *Новые методы в общей теории относительности*. М.: Наука, 1966.
6. Захаров В. Д. *Гравитационные волны в теории тяготения Эйнштейна*. М.: Наука, 1972.
7. Schwarzschild K. *Über das Gravitationsfeld einer Kugel aus inkompressibler Flüssigkeit nach der Einsteinschen Theorie* // Sitz. Preuss. Akad. Wiss. 1916. S. 424.
8. Толмен Р. *Относительность, термодинамика и космология*. М.: Наука, 1974.
9. Синг Дж. *Общая теория относительности*. М.: ИЛ, 1963.
10. Ландау Л. Д., Лифшиц Е. М. *Гидродинамика*. М.: Наука, 1986.
11. Oppenheimer J. H., Snyder H. // *Phys. Rev.* 1939. Vol. 56. P. 455.
12. Kyriakopoulos E. *Regular spherically symmetric interior solution to schwarzschild's solution which satisfies the weak energy conditions*. arXiv: 1602.08301v1[gr-qc].
13. Baumgarte T. W., Shapiro S. L. *Numerical relativity. Solving einstein's equations on the computer*. Cambridge University Press, 2010.
14. Gourgoulhon Éric. *3+1 Formalism in general relativity. Bases of numerical relativity*. Springer, 2012.
15. Alcubierre Miguel. *Introduction to 3+1 numerical relativity*. Oxford University Press, 2008.

Статья поступила в редакцию 26.09.2016